รายงานฉบับสมบูรณ์ ทุนวิจัยองค์ความรู้ใหม่ สัญญาเลขที่ BRG/03/2540

โครงการ:

การศึกษาการทำงานของที่โลเมอร์เรสในเนื้อเยื่อก่อนเกิดมะเร็ง และเนื้อเยื่อมะเร็งแบบสความัส

Title:

Study of Telomerase Activity in Premalignant and Malignant Lesions of Squamous Cell Carcinoma

โครงการ : การศึกษาการทำงานของที่โลเมอร์เรสในเนื้อเยื่อก่อนเกิดมะเร็ง และเนื้อเยื่อมะเร็งแบบสความัส

บทคัดย่อ

วัตถุประสงค์ของโครงการนี้เพื่อที่จะศึกษาเพื่อให้เกิดความเข้าใจถึงความสัมพันธ์ระหว่าง การทำงานของเอ็นไซม์ที่โลเมอร์เรส และ /หรือ ไวรัส ฮิวแมนแปบปิดโลมา (HPV) ในเนื้อเยื่อบุผิว แบบสความัสที่ปกติ ไม่รุนแรง ก่อนเกิดมะเร็งและมะเร็ง โดยเฉพาะจากช่องปากและปากมดลูก เอ็นไซม์ที่โลเทอร์เรสถูกพบว่าแสดงออกใน 80~90 % ของมะเร็ง ในขณะที่ประมาณ 50% ใน เนื้อเยื่อก่อนเกิดมะเร็ง ขณะที่เนื้อเยื้อปากมดลูกพบการติดเชื้อ HPV ได้บ่อย การติดเชื้อของไวรัส นี้พบได้น้อยในเนื้อเยื่อของช่องปากของการศึกษานี้ อย่างไรก็ดีความถี่ของการพบการทำงานของ เอ็นไซม์ที่โลเมอร์เรสไม่แสดงความแตกต่างระหว่างกลุ่ม HPV บวกและลบ ที่น่าสนใจคือการ แสดงออกของที่โลเมอร์เรสพบได้ ถึง 46% ในเนื้อเยื่อไม่รุนแรงของปากมดลูกโดยไม่ขึ้นกับการ ติดเชื้อ HPV และนอกจากนี้ยังพบในไลเคนพลานัสในช่องปากถึง 70% โดยสรุปเอ็นไซม์ที่โล เมอร์เรสน่าจะมีความสำคัญในเนื้อเยื่อพยาธิสภาพของเนื้อเยื่อบุผิวแบบสวามัสทั้งปากมดลูกและ ช่องปาก โดยแบบแรกพบในเนื้อเยื่อพยาธิสภาพที่ไม่รุนแรง ในขณะที่แบบที่ 2 พบมีความ สัมพันธ์กับการเกิดและพัฒนาของมะเร็ง โดยพบทำงานในระยะท้าย ๆ ของการเกิดมะเร็งแบบ หลายขั้นตอน

การศึกษาที่โลเมอร์เรสเพื่อเติมอีก 2 เรื่องคือในครรภ์ไข่ปลาอุกและน้ำในช่องท้อง การ ศึกษานี้เพื่อจะพิสูจน์ว่าการทำงานขอบเอ็นไซม์นี้สามารถตรวจพบและนำไปใช้ทางการวินิจฉัย ทางคลีนิคได้หรือไม่ การศึกษาในครรภ์ไข่ปลาอุกพบการแสดงออกของที่โลเมอร์เรสให้ผลบวก 57% แต่ไม่พบความสัมพันธ์กับลักษณะทางคลินิคที่ขัดเจน อย่างไรก็ดีการศึกษาน้ำในช่องท้อง อาจนำไปใช้ทางคลินิคได้ พบว่าการตรวจการทำงานของที่โลเมอร์เรสให้ผลไวกว่าการตรวจเซลล์ ตามปกติ การทำงานของที่โลเมอร์เรสพบ 76% ในน้ำในช่องท้องที่เกิดจากมะเร็งในขณะที่การ ตรวจพยาธิวิทยาของเซลล์พบเพียง 40%

คำสำคัญ เอ็นไซม์ที่โลเมอร์เรส การเกิดมะเร็งแบบหลายขั้นตอน มะเร็งเซลล์สความัส ไวรัสฮิวแมนแพปปิโลมา Title: Study of Telomerase Activity in Premalignant and Malignant lesions of Squamous

Cell Carcinoma

Abstract

The purpose of this project was to elucidate the correlation between telomerase activity and/or human papillomavirus (HPV) in normal, benign, premalignant and malignant squamous epithelial lesions, especially derived from the oral cavity and the cervix. Telomerase was found expressed at a 80-90% frequency among invasive cancers, compared with a mere 50% prevalence in premalignant lesions. Whereas cervical lesions were frequently infected with HPV, in oral lesions the virus was rarely identified in the present study. Nevertheless, the frequency of telomerase activity did not exhibit any difference between HPV positive and negative groups. Interestingly, telomerase expression was detectable in 46% of benign cervical lesions regardless of the presence of HPV and moreover, 70% of oral lichen planus were also positive. In conclusion, telomerase may play two different roles in squamous epithelial lesions, both cervical and oral. The first one would be expressed in benign lesions, whereas the second one would be associated with cancer development and hence activated during the late stage of multistep carcinogenesis.

Additional two telomerase studies were performed in hydatidiform mole and ascites. This is to prove whether the activity was detectable and applicable for clinical diagnosis. Study in moles showed positive telomerase expression in 57% of cases but no obvious clinical correlation identified. Nevertheless, study in ascites indicated future clinical application. Higher sensitivity of TRAP assay over reutine cytology was noticed. Telomerase activity was found in 76% of malignant associated ascites while cytology was positive only 40%.

Key Words: Telomerase, Multistep Process Carcinogenesis, Squamous Cell Cancer, Human Papillomavirus

สารบาญ

		เรื่อง	หน้า
1.	บทน้ำ		4
2.	วิธีการศึกษา		6
3.	ผลการทดลองและบทวิจารณ์		9
4.	หนังสืออ้างอิง		11
5.	ผลงานวิจัย (output)		12
6.	ภาคผนวก		13

....

บทน้ำ

ในปี 1994 Kim, N.M. และคณะได้คิดคันวิธีการตรวจหาการทำงานของเอ็นไซม์ telomerase โดยวิธี PCR เรียกว่า Telomeric Repeat Amplification Protocol (TRAP) และได้ใช้ วิธีการนี้ตรวจสอบเนื้อเยื่อมะเร็งชนิดต่าง ๆ พบว่า telomerase เป็นเอ็นไซม์ที่จะทำงานใน เนื้อเยื่อมะเร็งเกือบทุกชนิดโดยพบประมาณ 90% ของเนื้อเยื่อมะเร็งทั้งหมดแต่จะไม่พบการ ทำงานของเอ็นไซม์นี้ในเนื้อเยื่อปกติเลยยกเว้นเนื้อเยื่อที่มีเซลล์ตันแบบ (stem cells) เช่น ลูก อัณฑะ รังใช่ เป็นตัน TRAP จึงเป็น universal marker ที่สำคัญของการตรวจเนื้อเยื่อมะเร็ง นอก จากนี้การที่เชลล์ปกติจะกลายเป็นมะเร็งในช่บวนการกลายพับธุ์ในลักษณะหลายชั้นตอน (multistep process) นั้น telomerase น่าจะมีบทบาททั้งในทางตรงและทางอ้อม จึงเป็นที่น่าสน ใจว่า การกระตุ้นการทำงานของ telomerase เกิดขึ้นได้อย่างไร มีขบวนการอย่างไร มีปัจจัยอะไร เกี่ยวข้อง เมื่อไรและจะทำให้เกิดผลเช่นโด

Telomerase เป็นเอ็นใชม์ซึ่งประกอบด้วย RNA และโปรทีนที่มีหน้าที่สร้าง telomere (telomere เป็นส่วนปลายของโครโมโซมซึ่งประกอบด้วยการเรียงตัวแบบซ้ำ ๆ ของกรุดนิวคลิอิก TTAGGG) โดยปกติเซลล์ทั่วไป (ซึ่งไม่มีการทำงานของ telomerase) จะแบ่งตัวได้ในจำนวนครั้ง ที่มีการเพิ่มจำนวนของสาย DNA จะทำให้เกิด end replication problem คือส่วนต้นของสาย DNA ที่เกิดจาก DNA replication จะลัร้างไม่ได้ทำให้ DNA สายใหม่ขาดส่วนปลาย ตั้งนั้นเมื่อเจลล์ปกติ แบ่งตัวหลาย ๆ ครั้งก็จะมี telomere หรือส่วนปลายของโครโมโซมสั้นสงจนเกิดการสูญเสียความ สามารถในการรักษาสมดุลในการแบ่งเซลล์ทำให้เกิดการเสื่อมสภาพของเซลล์ (aging) ในทาง ตรงกันข้ามเซลล์ที่มีการทำงานของ telomerase เช่น เซลล์มะเร็ง และเซลล์ตันแบบจะสามารถ แบ่งตัวได้โดยไม่จำกัด เนื่องจาก telomerase จะทำให้ telomere ยาวขึ้นเป็นการทดแทน end replication problem ภาวะที่เซลล์สามารถแบ่งตัวได้อย่างไม่มีชีดจำกัดและยังสู่งผลทางอ้อมต่อ การเพิ่มจำนวนของการกลายพัวธุ์ในเซลล์นั้น ๆ มีการพัฒนาของมะเร็งเกิดขึ้น

จากการศึกษาถึงขบามการเกิดและพัฒนาของมะเร็งเป็นที่ยอมรับกันว่าการเกิดและพัฒนาของมะเร็งนั้นเกิดจากการสะสมของการกลายพันธุ์ โดยการกลายพันธุ์นั้นจะเริ่มต้นจาก เซลล์เพียงเซลล์เดียว (clonality) และทำให้คุณสมบัติต่าง ๆ ของเซลล์เปลี่ยนไป เซลล์เพียงเซลล์ เดียวที่เกิดมีการกลายพันธุ์นั้นจะแบ่งตัวให้เซลล์ลูกหลานที่จะได้รับการกลายพันธุ์ครั้งต่อ ๆ ไปลักษณะการกลายพันธุ์ตามลำตับนี้เรียกว่าการกลายพันธุ์อย่างเป็นขั้นเป็นตอน (multistep process) ซึ่งจะสะสมการกลายพันธุ์ของยืนต่าง ๆ ไว้ ทำให้คุณสมบัติต่าง ๆ ของเซลล์เปลี่ยนไป เช่น การเจ็ญเติบโตของเซลล์ การเพิ่มจำนวนของเซลล์ การพัฒนาไปเป็นเซลล์เฉพาะ (differentiation) การเกิดภาจะไม่ตาย และ การยับยั้งภาวะโปรแกรมการตาย (inhibition of apoptosis) ลักษณะ multistep process ของขบวนการเกิดมะเร็งนั้นสังเกตุได้จากการศึกษาการกลายพันธุ์ของยืนต่าง ๆ จากเนื้อเยื่อปกติเนื้อเยื่อก่อนเกิดมะเร็ง (premalignant) และ เนื้อเยื่อมะเร็งตามลำดับ (malignant lesion) นอกจากนี้ multistep process ยังเป็นขบวนการ ต่อเนื่องในการพัฒนาของมะเร็ะจาก Stage น้อย เช่น Stage I ไปสู่มะเร็งในระยะท้ายๆอีกด้วย 5

เนื่องจากภาวะไม่ตายเป็นคุณสมบัติที่สำคัญของมะเร็งการศึกษาถึงขบวนการของภาวะนี้ จึงน่าจะมีบทบาทสำคัญต่อความรู้ความเข้าใจพื้นฐานต่อขบวนการเกิดและพัฒนามะเร็ง ความรู้ ครามเข้าใจนี้ก็น่าที่จะเป็นองค์ประกอบที่สำคัญต่อการพัฒนาการวินิจฉัยดูแลรักษาผู้ป่วยใน อนาคต คำถามพื้นฐานต่าง ๆที่เกี่ยวข้องกับภาระนี้และเอ็นไซม์ telomerase ยังมีอยู่อีกมาก เช่น การกระตุ้น telomerase เกิดขึ้นได้อย่างไร เกิดขึ้นเมื่อใดในขบานการ multistep process มีภาจะ โดบ้างที่เป็นตัวกำหนดการทำงานของเอ็นไซม์ telomerase ยังมีอยู่อีกมาก และ เมื่อเกิดภาจะไม่ ตายแล้วจะส่งผลที่แตกต่างจากเนื้อเยื่อที่ไม่มีภาจะนี้ในการเกิดและพัฒนามะเร็งอย่างไร สำหรับ การศึกษานี้มีวัตถุประสงค์เพื่อที่จะศึกษาถึงการทำงานของเอ็นไซม์ telomerase ว่าเกิดขึ้นในจะยะ ใดในการเกิดมะเร็งแบบเป็นอันเป็นตอนโดยใช้การศึกษา squamous cell cancer ของมนุษย์เป็น แบบ และยังศึกษาถึงความสัมพันธ์ของการทำงานของ telomerase กับ สารก่อมะเร็งโดยเฉพะซึ่ง เป็นสาเทตุของมะเร็ง ลักษณะทางพยาธิและลักษณะทางคลีนิศ

Squamous cell carcinogenesis เป็นต้นแบบที่ถึในการศึกษาขบานการเกิดมะเริงแบบ หลายขั้นต่อน เพราะ เป็นเนื้อเยื่อที่พบเคิดมะเริงได้บ่อยและตรวจพบเนื้อเยื่อก่อนเกิดมะเริงได้ ตัวยโดยเฉพาะมะเริงปากมดลูก มะเร็งในข้องปาก เนื้อเยื่อก่อนเกิดมะเร็งในปากมดลูก (cervical intraepithelial neoplasia) ขึ้งพบจากการสืบหามะเริงด้วยการดาวจแบบ papsmear หรือ เนื้อเยื่อก่อนเกิดมะเร็งในช่องปาก เช่น oral leukoplakia นอกจากนี้ถึงแม้มะเร็งกั้ง 2 ชนิดนี้จะมี พยาธิสภาพที่คล้ายคลังกัน พบว่าสาเหตุการเกิดจะต่างกันโดยพบว่ามะเร็งปากมดลูกจะเกิดจะต่างกันโดยพบว่ามะเร็งปากมดลูกจะเกิดจะต่างกันโดยพบว่ามะเร็งปากมดลูกจะเกิดจะต่างกันโดยพบว่ามะเร็งในช่องปากพบเอิด จากการติดเชื้อ Hev ได้บ้าง 20-30% แต่โดยส่วนใหญ่จะพบว่าเกิดจากสารก่อมะเร็งอื่น ๆ เช่น บุทรี่ หรือเหล้า นอกจากนี้ทั้งในช่องปากและปากมดลูก จะพบพยาธิสภาพอื่น ๆ ได้อีกที่เกี่ยจ ข้องกับการเกิดมะเร็งค่อนข้างห้อย เช่น benign polya, lichen planus, chronic inflammation ลงนี้วัดถุประสงค์หลักของการศึกษานี้คือการศึกษาเปรียบเทียบการทำงานของเอ็นไชม์ telomerase ในเนื้อเยื่อของข่องปาก และปากมดลูก เมื่อดูความสัมพันธ์กับพยาธิสภาพ และ กระบวนการเกิดมะเร็ง

เนื่องจากเอ็นไชม์ telomerase เป็น universal marker ของการตรวจหามะเร็ง โครงการ จิจัยนี้จึงได้ขยายการศึกษาจึงัยเพื่อ ศึกษาดูว่าสามารถใช้การตรวจการทำงานของ telomerase ใน การวินิจจัยโรคได้หรือไม่¹⁰ โดยศึกษาถึง การทำงานของ telomerase ในครรภ์ใช่ปลาอุก และ telomerase ในเซลล์ของน้ำในช่องท้อง

วิธีการศึกษา

Specimens

Samples were, after obtained, snap frozen, and stored at -80° C for subsequent TRAP analysis. Histologic examinations of each types of all samples were performed by one pathologist.

TRAP Assay

TRAP was performed as previously described 1.11. Briefly, each sample was first centrifuged and washed in 500 μ I ice-cold PBS, then homogenized in 20-200 μ I of ice-cold CHAPS lysis buffer according to the sample size with a manual homogenizer. The collagenase treated specimens were washed with ice-cold PBS and treated with lysis buffer without homogenization. After 30 minutes incubation on ice, the lysate was centrifuged at 14,000 x g for 30 minutes at 4°C. The supernatant was divided into aliquots, flash-frozen in liquid nitrogen, and stored at -80°C until further analysis. Epstein-Barr virus-transformed human lymphocytes (American Type Culture Collection Cell Line, B958) were used as positive controls.

An aliquot of 1 μ g of TS substrate primer was end-labeled in a 10 μ l reaction mixture—with 10 μ Ci [γ -³²P]-dATP (3000 Ci/mmol). The PCR-based assay was carried out in a 25- μ l reaction mixture containing 1XTRAP buffer (17), 50 mM dNTPs, 0.1 μ g of labeled TS primer, 0.005 μ mol TSNT internal control, 0.005 μ g of NT primer, 2 μ of Taq polymerase, and DEPC H₂O in a 0.5 ml tube, containing 0.1 μ g ACX sealed at the bottom by a wax barrier (25).

After a 10-minute incubation at 23°C to allow telemerase-mediated extension of the TS primer, the reaction mixture was subjected to 31 PCR cycles at 94°C for 1 minute, 50°C 1 minute, and 72°C for 1 minute. Aliquots (5 μ I) of the PCR products were analyzed on an 8% non-denaturing poly-acrylamide gel. The gel was subsequently exposed to a phosphorus screen and the bands were visualized on a Phosphorimager using Image Quant software (Molecular Dynamics, Sunnyvale, CA). Duplicate assays were performed on all samples with RNAase pretreatment at a final concentration of 0.05 mg/ml for 10 minutes at room temperature.

The samples exhibiting negative internal control were subjected to 2-step TRAP (Shay, personal communication). The first part consisted of TS primer extension in a 25- μ 1 reaction mixture containing 1XTRAP buffer , 50 mM dNTPs, 0.1 μ g of TS, and DEPC H₂O. The reaction mixture was incubated in the thermocycler at 23 °C for 15 min. The product was then subjected to standard phenol-chloroform DNA extraction and ethanol precipitation. The precipitate was dissolved in DEPC H₂O and amplified in the second round. The second round reaction mixture was identical to the described TRAP, but omitting the NT primer, TSNT internal control and incubation at 23 °C for 15 min. The amplification cycle was the same as in the original protocol.

HPV PCR

Pellets of cervical or head and neck samples derived from the previous extraction with CHAPS lysis buffer were subjected to standard DNA extraction 12. The DNA was used for subsequent HPV PCR. Control HPV DNA used in the amplification was obtained from Hela cell lines.

L1 and E6 amplification were performed as previously described 13,14 with 1 μ I of each specimen in a 50- μ I reaction mixture. Each L1 amplification reaction contained 25 pmol each of the L1 degenerate primers MY11 and MY09, 2.5 pmol each of β globin primers GH20 and PC04. The E6 reactions contained 5 pmol of WD72, WD66, and WD154, 20 pmol of WD67 and WD76. Both reactions were performed in a buffer containing 50 mM KCI, 10 mM Tris (pH 8.3), 4 mM MgCI2, 200 μ M of each dNTP, and 1.25 u of Taq polymerase and subjected to 40 amplification cycles. Each cycle was performed at 95°C for 1 minute, at 55°C for 1 minute, and at 72°C for 2 minutes. An additional 5-minute final elongation cycle at 72°C was included. The PCR reactions were then separated by 2% agarose gel electrophoresis and visualized under UV illumination after ethidium bromide staining.

Dot Hybridization Of PCR Products

L1 and E6 type specific probes and consensus L1 probes were used for HPV typing. Positive controls of HPV type 6, 11, 16, 18, 31, and 33 from each PCR amplification were included. Products obtained from each PCR reaction were heated to 95 ^oC and thereafter 1 volume of 20 x SSC was added. Two microliters of aliqouts were applied to a Hybond-N+® nylon membrane (Amersham, Life Science) pre-wetted in denaturing solution (1.5 M NaCl, 0.5 M NaOH). The membranes were transferred to a filter paper soaked in neutralizing solution (1.5 M NaCl, 0.5 M Tris-HCl pH7.2, 0.001 M EDTA) for 1 minute. The membranes were air-dried at room temperature, soaked in 0.4 M NaOH for 20 minutes for fixation, and washed with 5 x SSC. Prehybridization at 65°C for 1 hour was carried out using 6 x SSC, 5 x Denhardt's solution, 0.5% SDS, 100 µg of single stranded sheared salmon sperm DNA per milliliter. Replicate membranes were separately hybridized with denatured P-labeled, type specific probes in pre-hybridizing solution for 1 hour at 55°C. Probes WD170 required hybridization at 45°C. Filters were rinsed briefly in 2 x SSC and 0.1% SDS at room temperature and then twice for 10 minutes at 45°C (WD170), 50-52°C (WD132, RR1, and RR2), 55-56°C (WD103, WD165, and WD166), 56-57°C (consensus L1, MY12/13, WD126, WD128, MY16, and WD133/134), or 58-59°C (MY14 and WD74). The membranes were subjected to

autoradiography using a Kodak XAR-5 film. Results of L1 and E6 dot blots were scored independently. Duplicate filters were prepared for all specimens.

Data And Statistical Analysis

Data in each part, histology, TRAP assay, HPV PCR and typing, were collected in a double-blind fashion until further analysis. The chi-square test was used to compare the results obtained from telomerase analysis with those of HPV and pathological parameters.

ผลการทดลองและบทวิจารณ์

การศึกษาการทำงานของ telomerase ในเซลล์เนื้อเยื่อแบบสความัส

การศึกษานี้แบ่งการศึกษาเป็น 2 เรื่องใหญ่ ๆ คือการศึกษาเปรียบเทียบพยาธิสภาพใน ช่องปาก และปากมดลูก สำหรับการศึกษาในช่องปากนั้นดีพิมพ์ผลงานวิจัยใน Mutirangura และ คณะ Cancer Research 56, 3530~3, 1996 (Out Put #1) และ Thongprasom คณะ J Oral Pathol Med 27,9339-9,1998 (Out Put #3) ส่วนการศึกษาในปากมดลูกตีพิมพ์ใน Mutirangura และคณะ British Journal of Cancer 78,933-9,1998 (Out Put #2)

โดยสรุปการศึกษา ในช่องปากนั้นเปรียบเทียบการทำงาน telomerase ใน oral lichen planus (OLP), oral leukoplakia (OL) และ head & neck squamous cell cancer (HNSCC) โดยศึกษา OLP 20 ราย OL 26 รายและ HNSCC 16 ราย นอกจาก telomerase และยังศึกษาหา HPV ด้วยแต่พบ HPV ใน HNSCC เพียง 1 ราย (unpublished)

OLP เป็นพยาธิสภาพในลักษณะมีอาการอักเสบในขช่องปากที่มีลักษณะเฉพาะในปัจจุบัน ยังไม่ทราบสาเหตุการเกิดของ OLP ชัดเจน อย่างไรก็ดีพบว่าประมาณ O.4 - 2.6% ของ OLP จะ สามารถพัฒนาไปเป็นมะเร็งได้จากการศึกษา telomerase พบว่า สามารถตรวจพบการทำงาน telomerase ในระดับต่ำได้ใน OLP 14 จาก 20 รายโดยไม่ขึ้นกับว่าเป็นพยาธิสภาพแบบ erosive หรือ atrophic (ตารางที่ 1 ของ Out Put #3) ดังนั้น OLP สามารถตรวจพบการทำงานของ telomerase ได้แต่ไม่บ่องบอกถึงความเสี่ยงของการเกิดมะเร็ง การที่สามารถตรวจพบ telomerase ใน OLP มีลักษณะคล้ายกับการตรวจพบการทำงานของ telomerase ในผิวหนังที่ อักเสบ ซึ่งอาจจะมีความสัมพันธ์กับการแบ่งตัวที่รวดเร็วหรือการอักเสบของเนื้อเยื่อนั้น ๆ

สำหรับการศึกษาความสัมพันธ์ระหว่างการเกิดมะเร็งในช่องปากกับการทำงานของ telomerase พบว่า telomerase สามารถตรวจพบได้ใน 38% ของ hyperplasia OL, 83% ของ dysplastic OL และ 87.5% ของ HNSCC (ตารางที่ 2 ของ Out Put #1) ดังนั้น telomerase จะ พบมีความสัมพันธ์กับขบวนการเกิดมะเร็งแบบหลายขั้นตอนของ HNSCC และสามารถใช้เป็น marker ในการสืบหาหรือบ่งบอกโอกาสในการเกิดมะเร็ง HNSCC

สำหรับการศึกษาพยาธิสภาพต่าง ๆ ในปากมดลูกนั้นศึกษารวมทั้งหมด 103 ราย โดย ศึกษาเปรียบเทียบ พยาธิสภาพ การทำงานของ telomerase และการติดเชื้อรวมทั้งชนิดของ HPV (ตารางที่ 1,2 ของ Out Put #2) โดยพบว่าสามารถพบ telomerase ในระดับต่ำได้ 1 ใน 9 ราย ของเนื้อเยื่อปกติ และ 46% ในเนื้อเยื่อ benign เมื่อเปรียบเทียบเนื้อเยื่อก่อนเกิดมะเร็งทั้ง squamous intraepithelial lesions (SILS) ทั้ง low grade และ high grade กับเนื้อเยื่อมะเร็งทั้ง microinvasive (MIC) และมะเร็งแบบสความัส พบว่า การทำงานของ telomerase สูงขึ้นอย่างมี นัยสำคัญทางสถิติจาก 40% ใน high grade SILs ไปเป็น 83% ใน MIC ดังนั้น telomerase จึงมี ความสัมพันธ์ในการเกิดมะเร็งปากมดลูกนอกจากนี้ไม่พบมีความแตกต่างของการทำงานของ telomerase ในกลุ่มที่ติดเชื้อ HPV และไม่ติดเชื้อในพยาธิสภาพทุกชนิด แสดงว่าถึงแม้การทำงาน ของยืน E6 ในเซลล์ที่ถูกเลี้ยงในหลอดทดลองจะสามารถกระตุ้นการทำงานของ telomerase โดย ตรง แต่การติดเชื้อของ HPV ไม่ใช่ปัจจัยโดยตรงที่ทำให้เกิดการทำงานของ telomerase ใน เนื้อเยื่อของปากมดลูกในผู้ป่วย

ดังนั้นการศึกษาในช่องปากและในปากมดลูกสามารถสรุปได้ว่าการทำงาน telomerase จะเกิดขึ้นใน 2 ลักษณะคือในการทำงานตามปกติ โดยพบมาขึ้นในระดับที่ตรวจพบได้ในเทคนิค มาตราฐานเพื่อเกิดการแบ่งตัวของเซลล์มากขึ้นหรือการอักเสบ อีกลักษณะที่สำคัญคือจะตรวจพบ เกี่ยวข้องกับการเกิดมะเร็ง เพื่อจากตรวจพบในระยะท้าย ๆ ของการเกิดมะเร็ง ดังนั้นการทำงาน ของ telomerase ในลักษณะนี้น่าจะมีความสัมพันธ์กับการกลายพันธ์ของเซลล์ในขบวนการเกิด มะเร็งแบบหลายขั้นตอน

การศึกษาเพื่อประยุกต์ใช้ในทางคลินิค

การศึกษาเพื่อปรยุกต์ใช้ในทางคลินิคของการทำงาน telomerase ได้ตีพิมพ์ 1 ฉบับคือ Sukcharoen และคณะ The Journal of Reproductive Medicine (in the press) (Out Put #4) และส่งดีพิมพ์ที่ Clinical Cancer Research โดย Tankijvanich (Out Put #5) อีกหนึ่งฉบับ

การศึกษาที่ดีพิมพ์ใน The Journal of Reproductive Medicine เป็นการศึกษาการทำงาน ของ telomerase ใน ครรภ์ไข่ปลาอุก ครรภ์ไข่ปลาอุกนี้เรียกว่า hydatidiform mole ซึ่งสามารถ พัฒนาเป็น persistent gestational trophoblastic tumors ได้ซึ่งในปัจจุบันจะต้องติดตามผู้ป่วย ด้วยการตรวจหาค่า β-human chorionic gonadotropin (β-HCG) เพื่อดูว่า invasive mole เกิด ขึ้นหรือไม่ ในการศึกษานี้ตรวจหาการทำงานของ telomerase และเปรียบเทียบกับพยาธิสภาพ และ β-HCG เพื่อดูว่าสามารถตรวจพบและใช้การทำงานของ telomerase ในการพยากรณ์โรคได้ หรือไม่ จากตารางที่ 1 ของ Out Put #4 พบว่าสามารถตรวจพบ การทำงานของ telomerase ใน mole ได้ 12 ใน 21 ราย แต่ยังไม่พบความสำคัญในการทำนายโรคที่ซัดเจน

การศึกษาที่ส่งตีพิมพ์ที่ Clinical Cancer Research (Out Put #5) เป็นการศึกษาเซลล์ จากน้ำในช่องท้องเพื่อที่จะดูว่าสามารถแยกสาเหตุของน้ำในช่องท้องระหว่างน้ำในช่องท้องที่เกิด จากมะเร็ง และน้ำในช่องท้องที่เกิดจากสาเหตุอื่น ๆ ได้หรือไม่ จากการศึกษาพบว่าการตรวจด้วย telomerase เป็นวิธีการที่มีความไวกว่า การตรวจเซลล์ตามปกติ โดยสามารถตรวจให้ผลบวกใน กลุ่มที่เป็นมะเร็งของเยื่อบุช่องท้องถึง 81.3% ในขณะที่การตรวจเซลล์พบเพียง 56.3% ส่วนการ ตรวจในกลุ่มที่เป็นมะเร็งตับพบ 66.7% ในขณะที่การตรวจเซลล์พบเพียง 11.1% อย่างไรก็ดี กลุ่มที่ไม่เป็นมะเร็งพบการทำงานของ telomerase ได้ 2 ใน 47 ราย โดยทั้ง 2 รายนี้เกิดจาก การติดเชื้อ ซึ่งการให้ผลบวกของ telomerase นี้น่าจะเกิดจาก activated lymphocyte (ตารางที่ 2 ของ Out Put #5).

สรุป โครงการได้รับตีพิมพ์ผลงานวิจัยในระดับนานาชาติ 4 ฉบับและส่งเพื่อพิจารณาตีพิมพ์อีก 1 ฉบับ โดยที่ศึกษาพบความสัมพันธ์ของการทำงานของ telomerase ในเนื้อเยื่อแบบสความัส กับพยาธิสภาพต่าง ๆ และตั้งสมมุติฐานต่อเนื่องว่า น่าจะเกิดการทำงานจาก การทำงานตาม ปกติและการเกิดมะเร็ง นอกจากนี้ยังมีการศึกษาเพิ่มเติมเพื่อพิสูจน์น่าจะสามารถตรวจพบการ ทำงานของ telomerase ในเนื้อเยื่อชนิดอื่น และประยุกต์ใช้ทางคลินิกได้หรือไม่

หนังสืออ้างอิง

- Kim, N.W., Piatyszek, M.A., Prowse, K.R., Harley, C.B., West, M.D., Ho, P.L., Coviello, G.M., Wright, W.E., Weinrich, S.L., Shay, J.W., Specific association of human telomerase activity with immortal cells and cancer. Science, 266:2011-5, 1994.
- 2. Morin, G.B. The human telomere terminal transferase enzyme is a ribonucleoprotein that synthesizes TTAGGG repeats. Cell, 59:521-529,1989.
- 3. Yu, G.L., Bradley, J.D., Attardi, L.D., and Blackburn, E.H. In vivo alteration of telomerase sequences and senescence caused by mutated Tetrahymena teomerase RNAs. Nature, 344:126-132,1990.
- 4. Rhyu, M.S. Telomeres, telomerase, and immortality. J. Natl. Cancer. Inst., 87: 884-894,1995.
- Vogelstein, B., Fearon, E.R., Hamilton, S. R., Kern, S. E., Presingeer, A.C., Leppert, M., Nakamura, Y., White, R., Smits, A. M. M., and Bos, J. L., Genetic alterations during colorectal tumor development. N. Engl. J. Med., 319: 523-532, 1988.
- 6. Lundberg, G.D., The 1988 Bethesda system for reporting cervical/vaginal cytological diagnoses. *JAMA* 262: 931-934, 1989.
- 7. Silverman, S., Gorsky, M., and Lozada, F. Oral leukoplakia and malignant transformation: a follow-up study of 257 patients. Cancer (Phila.), 53:563-568, 1984.
- Bosch, F.X., Manos, M.M., Munoz, N., Sherman, M., Jansen, A.M., Peto, J., Schiffman, M.H., Moreno, V., Kurman, R., Shah, K.V., and International Biological Study on Cervical Cancer Study Group., Prevalence of human papillomavirus in cervical cancer: a worldwide perspective. J Natl Cancer Inst 87: 796-802, 1995.
- Brachman, D.G. Molecular biology of head and neck cancer. Semin. Oncol., 21: 320-329, 1994.
- 10.Kim, N.W. Clinical implications of telomerase in cancer. Eur. J. Cancer., 33: 781-786,1997.
- 11.Kim, N.W., amd Wu, F. Advances in quantification and characterization of telomerase activity by the telomeric repeat amplification protocol (TRAP). Nucleic. Acids. Res., 25: 2595-2597,1997.

- 12. Maniatis T, Fritsch EF, and Sambrook J (1989) Molecular Cloning: A Laboratory Manual, 2nd edn. Cold Spring Harbor Laboratory: Cold Spring Harbor, NY
- 13. Bauer, H.M., Ting, Y., Greer, C.E., Chambers, J.C., Tashiro, C.J., Chimera, J., Reingold, A., and Manos, M.M., Genital human papillom.evirus infection in female university students as determined by a PCR-based method. JAMA 265: 472-477,1991.
- 14.Resnick, R.M., Cornelissen, M.T.E., Wright, D.K., Eichinger, G.H., Fox, H.S., and Manos, M.M., Detection and typing of human papillcmavirus in archival cervical cancer specimens by DNA amplification with consensus primers. J Natl Cancer Inst 82: 1477-1484, 1990.

ผลงานวิจัย (output)

- Mutirangura A, Supiyaphun P, Trirekapan S, Sriccanpong V, Sakuntabhai A, Yenrudi S and Voravud N. Telomerase activity in oral leukcclakia and head and neck squamous cell carcinoma. Cancer Research 56: 3530-3533 (1996).
- Mutirangura A, Sriuranpong V, Termrunggraunglert W, Tresukosol D, Lertsaguansinchai P, Voravud N, Niruthisard S. Telomerase activity and human papillomavirus in malignant, premalignant and benign cervical lesions. British Journal of Cancer 78: 933-9 (1998).
- 3. Thongprasom K, Mutirangura A and Cheerat S. Telomerase activity in oral lichen planus. Journal of Oral Pathology & Medicine 27:395-8 (1998).
- 4. Sukcharoen N, Mutirangura A and Limpongsanurak S. Telomerase Activity in Complete Hydatidiform Mole. The Journal of Reproductive Medicine (In the Press)
- 5. Tankijvanich P, Tresukosol D, Sumpathanukul, Sakdikul S, Voravud N, Mahachai V, and Mutirangura A. Telomerase Activity for the Draerentiation between Malignancy-related and Non-malignant Ascites. (Submitted)

ภาคผนวก สำเนา **ผลงานวิจัย (output**)



The Journal of Reproductive Medicine

P.O. Drawer 12425 • 8342 Olive Blvd. • St. Louis, MO 63132-2814 • Tel: (314) 991-4440 • FAX: (314) 991-4654

George L. Wied, M.D., Editor-in-Chief Donna Kessel, Publisher

TO:

www.jreprodmed.com

FAX TRANSMITTAL FORM

NARES SUKCHAROEN, M.D.

CO/DEPT:	CHULALONGKORN UNIVERSITY
FROM:	THE EDITORIAL OFFICE
DATE:	MARCH 30, 1999
Total pages in	this transmission:10
If there is a pro	blem with transmission, please call (314) 991-4440.
Message:	PLEASE FILL OUT AND SIGN THE FINANCIAL DISCLOSURE. PLEASE RETURN THESE PAGES BY FAX TO (314) 991-4654 WITHIN 48 HOURS. THANK YOU. P. C. 199 St. 1088, Managed CHA

The Journal of Reproductive Medicine®

Telomerase Activity in Complete Hydatidiform Mole

Nares Sukcharoen, M.D., Apiwat Mutirangura, M.D., Ph.D., and Sompop Limpongsanurak, M.D.

OBJECTIVE: To investigate whether telomerase is activated in complete hydraidiform mole and whether it could predict the development of persistent gestational trophoblastic tumors (GTTs).

STUDY DESIGN: For this prospective study, 21 patients with complete hydatidiform mole were recruited.

Molar tissue was obtained for telomerase activity measurement using the telomeric repeat amplification protocol assay. Patients'clinical characteristics, telomerase activity and subsequent clinical outcome were analyzed.

RESULTS: Telomerase ac-

tivity was detected in 12 cases (57.1%) with varied intensity. Two of four patients who had telomerase activity, uterine size larger than expected and preevacuation serum β-human chorionic gonadotropin (β-hCG) levels > 106 mIU/nL developed persistent GTI.

CONCLUSION: Telomerase activity is detectable in: some complete hydatidiform moles and might be useful for predicting persistent GTT when combined with uterine size and preevacuation serum β-hCG level. (J Reprod Med 1999;44:0000–0000)

Keywords: telomerase, hydatidiform mole, trophoblastic neoplasms.

Introduction

Telomeres are repeated DNA sequences (TTAGGG, in humans) found at the ends of chro-

mosomes and that become shorter with each cell division. A certain length of the telomere is important for cell division and has been implicated as a mechanism of monitoring cellular proliferative capacity, with critical short-

ening of telomeres signalling cell cycle arrest and senescence.² Telomeres lost during DNA replication can be added back by the activity of telomerase, a ribonucleoprotein DNA polymerase, which is found in normal germline tissues, most tumor cells and immortal single-cell cukaryotes.³ Normal human somatic cells express low or undetectable telomerase activity and progressively lose telomeric sequences with cell division.^{4,5} In immortal cukaryotic cells, such as cancer cells, augmentation of telo-

From the Department of Obstetrics and Gynecology and Genetics Unit, Department of Anatomy, Faculty of Medicine, Chulalongkom University, Bangkok, Thailand.

The expression of telomerase

activity is found in some complete

hydatidiform moles and may play

a role in progression.

Dr. Sukcharoen is

Dr. Mutirangura is

Or. Limpongsanurak is

Address reprint requests to: Nares Sukcharoen, M.D., Department of Obstetrics and Gynecology, Faculty of Medicine, Churalongkorn University, Bangkok 10330, Thailand (fmednsc@rnd2.md.chula.ac.th).

Supported by the Molecular Biology Project, Faculty of Medicine, Chulalongkorn University, and Thailand Research Funds.

Financial Disclosure: The authors have no connection to any companies or products mentioned in this article.

0024-7758/99/4400-0000/\$15.00/0 © The Journal of Reproductive Medicine , Inc. Journal of Reproductive Medicine 69

merase activity is apparently necessary to balance telomere loss with *de novo* synthesis of telomeric DNA so as to maintain sufficient length of the telomere to ensure proliferation.^{6,7}

Recently, telomerase activity has been detected frequently in primary human tumors and tumorderived cell lines, including hematologic malignancies; neuroblastoma; and gastric, lung, head and neck, liver, colorectal, brain, prostate and breast cancers.8 Telomerase activation has also been reng manda ka kasaninted with immortolization of mar High levels of telomerase activity were also found to be associated with an unfavorable prognosis in Some cancers, such as neuroblastoma and gastric carcinomas. 10,11 The expression of telomerase activity was also demonstrated in premalignant lesions, such as oral leukoplakias, which might serve as a biomarker for cancer risk assessment.12 Therefore, it is possible that telomerase activation would be a useful marker in hydatidiform mole for prediction of the development of persistent gestational trophoblastic tumor (GTT).

Approximately 20% of complete hydatidiform moles progress to persistent GTT. Clinical prognostic characteristics of persistent GTT, such as maternal age, presence of bilateral theca lutein cysts, a uterus larger than expected for dates, ABO blood group, parity, presence of precelampsia and preevacuation serum \(\beta \)-human chorionic gonadotropin (β-hCG) level, have been studied but have not reliably predicted the development of perstent GTT.13 Early prediction of persistent GTT hs obvious clinical significance since these patients can be identified and may benefit from prophylactic chemotherapy. To date, no previous study has specifically addressed telomerase activity in hydatidiform mole. It may be useful as a prognostic indicator of subsequent clinical outcome of complete hydatidilorm mole. The aim of this study was to investigate whether telomerase is activated in complete hydatidiform mole and to determine whether it could predict the development of persistent GTT.

Materials and Methods

Twenty-one patients with complete hydalidiform mole diagnosed at the Department of Obstetrics and Gynecology, Faculty of Medicine, Chulalongkorn University, between January 1995 and May 1997, were recruited for this prospective study. Ethical approval for the study was given by the local ethics committee, and all patients gave in-

formed consent. An initial workup was carried out, including chest roentgenography, liver and renal function tests, and thyroid hormonal profiles. Patient data included age, gravidity, parity, uterino size at the time of evacuation method of termination, preevacuation serum β-hCG level, radiologic findings, histologic evaluation and laboratory findings. Sixteen patients were treated with suction curettage, while three were treated with hysterectomy, one with suction curettage with hysterectomy, and one with sharn curetlage. All samples were the telomeric repeat amplification protocol (TRAP) assay. Clinical data and TRAP assay results were collected in a double-blind fashion until analysis at the end of the study. One patient was administered prophylactic chemotherapy. The patients were followed weekly after evacuation until three consecutive negative serum β-hCG levels were observed, then at one-month intervals for the first six months and thereafter bimonthly up to at least one year. Patients with a β-hCG plateau over three weeks or an elevation over two, weeks were diagnosed as having persistent GTT. Women with persistent GTT were evaluated for metastatic disease before initiation of chemotherapy and then were followed with weekly serum β-hCG measurements until normal for 3 weeks and then monthly serum β-hCG levels until normal for 12 months.

TRAP was performed as described previously. 14,15 Briefly, each frozen tissue was first washed in 500 µL PBS (calcium and magnesium free), then homogenized in 20–200 µL of ice-cold CHAPS lysis buffer (10 mM Tris-HCl [pH 7.5]), 1 mM EGTA, 0.1 mM phenylmethylsulfonyl fluoride, 5 mM β -mercaptomethanol, 0.5% CHAPS, 10% gleerol and diethylpyrocarbonate $\rm H_2O$), depending on the size of the sample, using a manual homogenizer. After 30 minutes of incubation on ice, the lysate was centrifuged at 14,000 g for 30 minutes at 4°C. The supernatant was aliquoted, flash frozen in liquid nitrogen and stored at -80°C until further analysis.

Epstein-Barr virus-transformed human lymphocytes (American Type Culture Collection cell line B958) were used as positive controls and cultured normal fibroblasts as negative controls. The polymerase chain reaction (PCR)-based assay was carried out in 50 μL of reaction mixture containing 20 mM Tris-HCl (pH 8.3); 1.5 mM MgCl₂; 63 mM KCl; 0.005% Tween-20; 1 mM EGTA; 50 μM dGTP, dΛΤP and dTTP; 5 μM dCTP; 0.1 μg of the deoxy-

/olume 44, Number/Month 1999

oligonucleotide primer TS (5'-AATCCGTC-GAGCAGAGTT-3'); 1 μg of T4g32 protein (Boehringer Mannheim); 4 μL of [α -32P] d CTP (10 μ Ci/ μL , 3,000 Ci/mmol); 2 units of Taq polymerase and diethylpyrocarbonate H_2O in a 0.5-mL tube. The tube contained 0.1 μg of the deoxyoligonucleotide CX (5'-CCCTTACCCTTACCCTTACCCTAA-3') sequestered at the bottom by a wax barrier (Ampliwax, Perkin-Elmer Cetus).

After 10 minutes of incubation at 23°C to allow telomerase-mediated extension of the TS primer, the reaction tube was subjected to 30 PCR cycles at 94°C for one minute, 50°C for one minute and 72°C for one minute. Aliquots (5 μ L) of the PCR mixture Swere analyzed on 8% nondenaturing polyacrylamide gel in 0.6× Tris-borate EDTA buffer until the xylene cyanol had migrated 17 cm from the origin (gel size, 20×40 cm). The gels were then exposed to Kodak XAR-5 x-ray film at -70°C with an intensifying screen. Duplicate assays were performed on all samples with and without RNase pretreatment to a final concentration of 0.05 mg/mL for 10 minutes at room temperature. Data were collected blindly and decoded later. The positive results were correlated with telomerase activity of 10, 100, 1,000 and 10,000 cells of B958.

The samples exhibiting the negative internal telomerase assay standard were subjected to two-step TRAP (Shay, personal communication). The first part consisted of TS primer extension with a 50-µL reaction mixture containing 20 mM Tris-HCl, 1.5 mM MgCl₂, 63 mM KCl, 0.005% Tween-20, 1 mM GTA, 50 μM of each dNTP, 0.1 μg of TS, 1 μg of 4g32 protein and DEPC H₂O. The reaction tube was incubated in a thermocycler at 23°C for 15 minutes. The product was then subjected to standard phenol-chloroform DNA extraction and ethanol precipitation. The precipitate was dissolved in DEPC H₂O and amplified in the second part. The second part of the reaction mixture was the same as in the nonmodified TRAP without incubation at 23°C for 15 minutes. The amplification cycle was similar to the original protocol.

Descriptive statistical methods were used to examine patients' clinical data, including mean and range of the variables.

Rosulte

Telomerase Activity and Clinical Data on Complete Hydatidiform Mole

The results of the TRAP assay and clinical data on the patients are summarized in Table I.

Telomerase Activity in Complete Hydatidiform Mole

In the present study, we analyzed 21 samples of complete hydatidiform mole (Table I). B958 cells were used as positive controls and cultured normal fibroblasts as negative controls (Figure 1). Telomerase activity was detected in 12 cases. Because of the variation in intensity of the TRAP signals, we compared the intensity of the ladder signals with serial dilution of cell line B958—10, 100, 1,000, 10,000 cells. A gradually increasing increment in TRAP intensity was observed and varied directly with the number of immortal cells tested. We then semiquantitatively correlated the density of each positive TRAP result with the senally diluted B958 cell line. The dosage of telomorase activity was then recorded as < 10, 10-100, 101-1,000, 1,001-10,000 or > 10,000, indicating whether the intensity of those bands was less than the numbers of B958 cells (Figure 1). Among 12 positive samples, 7 (58.3%) were compatible with 10-100, 2 (16.7%) with 101-1,000 and 3 (25%) with 1,001-10,000 B958 cells, respectively (Table I).

Clinical Presentation

The mean age of the patients at diagnosis was 26.4 years (range, 15–49). The mean estimated gestational age at evacuation was 14.5 weeks (range, 12–21). Nineteen patients (90.5%) had serum β -hCG levels that returned spontaneously to normal following molar evacuation. Two patients developed persistent GTT. One patient was diagnosed from a plateau of serum β -hCG levels over three weeks, and one patient had a hysterectomy, and the histopathologic diagnosis was invasive mole. Both patients exhibited low telomerase activity (Table I).

There was no apparent association between age, gravidity and subsequent disease course. All patients had a uterus between 10 and 24 weeks' size. When the uterine size was correlated with "gestational age," it was smaller than expected in six cases, larger than expected in seven and equal to expected in eight. Uterine size larger than expected appeared to predict the subsequent clinical course. Two patients had persistent GTT (Table I).

The initial preevacuation serum β -hCG values ranged from 0.07×10^3 to 105.6×10^5 . The initial serum β -hCG levels appeared to predict the clinical course. There were seven cases with initial serum β -hCG levels >106; two of them had persistent GTT (Table I). The intensity of telomerase activity did not correlate with the preevacuation serum β -hCG levels.

Table 1 Telomprase Activity and Clinical Data on Hydaudinum Mose Patients

Patient	Age (yr)	Expected uterine size	Preevacuation B-hCG (mIU/mL)	Complications	[realment	Tallow-up	Telemerase activity	
Mir.							+ i -	Dosage
ī	1,5	>	10.2×10*	_ <u>-</u>	SC	1.'R	–	101-111
2	18	<	10.0≤ 105	W.mm.	<u>54.1</u>	ÇŔ		
3	?2	>	12.0×105		SC	POID	4	100 1120
4	1.5	<	1.0 × 105		SC	CR	-	
5	19	=	2.1 ≥ 105		90	ÇK		
6	23	<	2.65.105	-	D&C	ĆŖ.		10 160
7	33	Þ	3.5×105	78 948	1.0	CR		
ß	30	<	0.1×10°		St	€R		
<u>a</u>	27	=	2.9 8 105	_	\$C	ÇR	+	113 3.50
	49	=	16.1 × 105	_	LATISBSET	ČR.	•	10,100
P	35	>	105.6×105		TAFIRRESO	toyaswe proje	•	10-100
12	24		8.1 x 102	Severe	SC-&-	€k	*	ter jije
				pieeckimpsia	chemographylasis			
13	18	=	14.5 × 10 ⁵		śc	C.R		10,-16,
14	2.2	=	1.0 × 10 ⁵		SC	T R	-	
13	44	*	2.1×105		SC and TALL	CŔ		10-100
16	20	=	1.0 ×10₹	-	50	CB.		
17	1.8	=	4.1%105		<u>\$</u> €	CR		10'- 11.1
18	25	ح	1.0×10°		SC	6 K		
19	45	>	10.3×10^{5}	- "	TAHERSO	CR	يالو	
20	1.5	<	5,6×105	Milá	SC	CR	•	10-100
		•	4424	piecelampsia				
21	33	>	29,4 ×103	Hyperthyroidism Severe	şč	CR	•	10:~1ºi,
				preeclampsia			•	

5C4 surfan curettage. CR=complete regulation, FCTO a pergistent gestational trophoblastic deserve, 1AH = total extormal hysicitations, OSC = dilatation and curettage, 85O = bilateral salpings coophorectomy.

There were four cases with telomerase activity, principle larger than expected and preevacuation with (50%) in patients with telomerase activity, uterine size larger than expected and preevacuation \(\beta\thet

Discussion

Telomerase activity is expressed in most human tumor tissue (about 85%) but not in normal tissues, execut those of the germline (testes and ovaries) and rare hematopoietic stem cells, which express very low levels. Telomerase activity seems to be necessary for the sustained proliferation of most cancer cells. Therefore, telomerase activity may be useful for cancer diagnosis and serve as a prognostic indicator of clinical outcome. Assays for telomerase activity may also be very useful as screening for the detection of early cancer or early metasta-

sis, 14 These findings have led to increasing interest in studies related to various aspects of telometase DIDDUCTION IN GINSEL A Sensitive and reliable proture material and small tissue samples obtained (from tumor biopsiès was developed. Telémerase chain extraction and detection of telomerase activity using the TRAP assay result in an estimated 104fold improvement in detection as compared with previous mothods.14 It is a sensitive and reliable telomerase activity assay. The simplicity and 101increased sonsitivity of this assay has resulted in a dramatic increase in investigations of telemerase expression. This method makes it possible to detect enzyme activity in a very small number of cells, a major advantage for examining clinical specimens. Therefore, this method was selected for use in this study to analyze telemerase activity in hydatiditorm mole.

In previous studies, telemerase activity in cancers varied from 70% to 95%, depending on cell types and proliferation activity. Telemerase activity in be-

Volume 44, Number/Month 1999

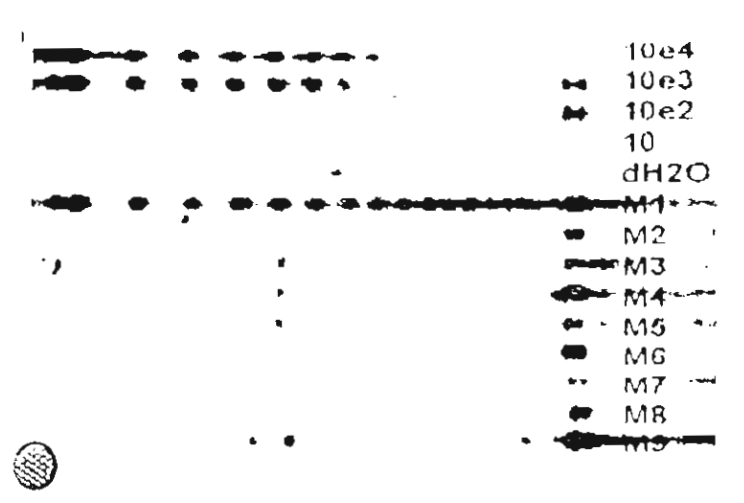


Figure 1 Telomerase activity of 21 molar tissues assessed by the PCR-based TRAP assay. Extracts of Epstein-Barr virus-transformed human lymphocyte cell lines were used as positive controls. Serial dilution of 10⁴, 10³, 10² and 10 cells represented levels of activity of the enzyme. Samples M2, M4, M5, M7 and Md exhibited negative telomerase activity. Positive telomerase in hydatidiform mole specimens (M1, M3, M6 and M9) was detected.

nigh tumors and premalignant tissues varies from 0% to 60%. In a recent study, chorions from placentas at various weeks of gestation were examined for telomerase activity using the TRAP assay. Seventy-six percent of normal early chorions at 5-9 weeks' gestation were telomerase positive. Chorions from early spontaneous abortions also exhibited telomerase activity but at a low level. In contrast, by 4% of late chorions at 34-41 weeks' gestation were sectivity. Significant telomerase activity was observed in trophoblast cell freations of charging demonstrating trophoblast to be the source of the activity.

Our study demonstrated that telomerase activity was detected in 12 cases (57.1%) of complete hydatidiform mole. The intensity of telomerase activity detected in hydatidiform mole varied widely. Correlation between the intensity of telomerase activity and estimated gestational age of a hydatidiform mole cannot be demonstrated. Two cases of persistent GIT exhibited low telomorase activity. These data indicate that telomerase is activated in about half of hydatidiform moles and also in all persistent GTTs. Our results provide insight into the biologic role of telomerase in the proliferating potential of trophoblastic cells. The clinical characteristics and basic laboratory investigation that demonstrated the high proliferation rate are uterine size larger than expected and high preevacuation serum βhCG levels. In a previous study, trophoblastic proliferation was one of the most powerful indicators of GTTs. ¹⁸ Therefore, complete hydatidiform moles that demonstrate clinical or laboratory evidence of excessively abnormal proliferative activity, as indicated by these features, are more likely to develop persistent GTT.

In general, approximately 80% of molar gestations resolve spontaneously after evacuation, whereas nearly 20% of patients will have persistent GTT.19,20 With prophylactic chemotherapy, 10% developed persistent GTI as compared with 31 is of those who are not treated. In the treated group, the disease is diagnosed later and requires more courses et chemotherapy until complete remission than in the nontreated group.21 Therefore, the administration of prophylactic chemotherapy to decrease the incidence of persistent cases has gained wide accoptance.21,22 However, employing chemotherapy for all patients, of whom the majority will have a benigh course, has been questioned in recent years. Identification of patients at high risk for the development of persistent GTT will reveal a subgroup of patients who could benefit from close follow-up and prophylactic chemotherapy.

The diagnosis of persistent GTT is limited by the currently accepted method of following persistently elevated or rising postevacuation B-hCG titers, leading to a delay in diagnosis and treatment of up to two months after evacuation. Various clinical prognostic risk factors have been investigated in an effort to define a group of patients with an extreme risk for persistent GIT. These risk factors include age > 40 years, ovarian enlargement (bilateral theca intein cysts), larger utorine size than expected, blood group, party, preecidings, previous history of molar pregnancy and preevacuation serum βhCG levels. However, the data are still unrefined, and there are no available clinical, histologic, cytogenetic or immunohistochemical factors that provide early detection and prediction of those patients who will have persistent GTT.13,23 In this study, the combination of the presence of telomerase activity, precvacuation serum β-hCG levels > 106 mlU/mL and uterine size larger than expected seemed to be useful in prediction of clinical outcome.

Gestational trophoblastic disease is a complex and challenging area. Currently there are still no reliable genetic markers for predicting which subset of moles will behave aggressively. In this study, telomerase activity in complete hydatidiform mole was analyzed for the first time. We conclude that

The Journal of Reproductive Medichiew

the expression of telomerase activity is found in some complete hydatidiform moles and may play a role in progression. Intensity of telomerase activity did not correlate with preevacuation serum β-hCG levels, estimated gestational age or chnical outcome. However, hydatidiform moles that demonstrate clinical or laboratory evidence of excessively abnormal proliferative activity, as indicated by the presence of telomerase activity, uterine size larger than expected and preevacuation serum β-hCG level > 106 mIU/mL, are more likely to develop persistent GTT. Before these prognostic factors can be used clinically, however, larger, prospective studies and specificity of these prognostic factors.

References

- Blackburn DH: Structure and function of telemeres. Nature 1991;350:569-573
- Harley C0, Vaziri H, Counter CM, et al: The telomere hypothesis of cellular ageing. Exp Gerontol 1992;27:375–384
- Feng JL, Funk WD, Wang SS, et al: The KNA component of human telomerase. Science 1995;269:1236–1241
- Vaziri H, Schachter F, Wei L, et al: Loss of telemeric DNA during aging of normal and trisomy 21 human lymphocytes. Am J Hum Genet 1993;52:661-667
- Hastie ND, Dempster M, Dunlop MG, et al: Telomerase reduction in human colorectal carcinoma and with ageing. Nature 1990;3:16:866–869
- Counter CM, Avilion AA, Lefeuvre CE, et al. Telemere shortening associated with chromosome instability is arrested in immortal cells which express telemerase activity. EMBO 1992;11:1921–1929
- 7-Counter CM, Botelho FM, Wang P, et al: Stabilization of hort telomeres and telomeruse activity accompany immortalization of Epstein-Barr virus-transformed human B lymphocytes. J Virol 1994;68:3410-3414
- Bacchetti S, Counter CM: Telomeres and telomerase in human cancer. Int J Oncol 1995;7:423–432
- Zheng P-S, Iwasaka T, Yamasaki F, et al: Telomerase activity in gynecologic tumors. Gynecol Oncol 1997;64:171–175

- Hiyama E, Hiyama K, Yokoyama T, et al: Correlating telomerase activity levels with homan neuroblastoma outcomes. Natl Med 1 1995;1:249–255
- Hiyama E, Yokoyama T, Tatsumoto N, et al: Telomerase activity in gastric cancer. Cancer Res 1995;55:3258–3262
- Mutirangura A, Supiyaphun P, Trirekapan S, et al: Telomerase activity in oral leukoplakia and head and neck squamous cell carcinoma. Cancer Res 1996;56:3530-3533
- Parazzini F, Mangili G, Belloni C, et al: The problem of identification of prognostic factors for persistent trophoblastic disease. Gynecol Oncol 1986;30:57-62
- Kim NW, Piatyszek MA, Prowse KR, et al. Specific association of human telomerase activity with immortal cells and cancer. Science 1994;266:2011–2015
- Wright WE, Shay JW, Piatyszek MA: Modifications of a telomeric repeat amplification proteol (TRAP) resulted increased reliability, linearity, and sensitivity. Nucleic Acids 80s 1995;23:3794-3795
- Shay JW, Wright WE: Telomerase activity in human cancer. Curr Opin Oncol 8.66-71
- Kyo S, Takakura M, Tanaka M, et al: Expression of telomerase activity in human chorion. Biochem Biophys Res Comm 1997;241:498–503.
- 18 Ayhan A, Tuncer ZS, Halilzade H, et al. Predictors of persistent disease in women with complete hydatidiform mole. J Reprod Med 1996;41:591-594
- Schlaerth JB, Morrow CP, Kletzky OA, et al. Prognostic characteristics of serum human charionic garadotropin titer regression following molar pregnancy. Obstet Gynecol 1981; 58:478–482
- Luram JR, Brewer JI, Torek EE, et al. Natural history of hydatidiform mole after primary evacuation. Am J Obstet Gynecol 1983;145:591–595
- 21. Kim DS, Moon II, Kim KT, et al: Effects of prophylactic chemotherapy for persistent trophoblastic disease in patients with complete hydatidiform mole. Obstet Gynecol 1986,67:690-694
- Goldstein DP: Prevention of gestational trophoblastic disease by use of actinomycin D in molar pregnancy. Am J Obstet Gynecol 1974;43:475–479
- Coldstein DP, Berkowitz RS, Beinstein MR: Management of molar pregnancy. J Reprod Med 1981;26:208–210